

ЛЕКЦИЯ №7

1. Каналы связи.

1.1. Математические модели каналов связи.

Канал связи (К.С.) – физическая среда, которая используется для передачи сигнала от передатчика к приемнику.

Каналы связи: проводные, волоконно-оптические, беспроводные (радио) каналы, подводные акустические каналы, системы хранения информации. Так же в состав канала связи может входить часть устройств передатчика и приемника.

Рассмотрим несколько наиболее часто встречающихся моделей К.С.

I. Канал с аддитивным шумом – самая простая модель канала.

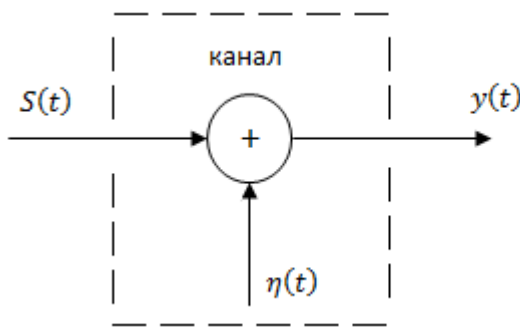


Рисунок 1.1. Структурная схема К.С с аддитивным шумом.

$$y(t) = S(t) + \eta(t) \quad (1.1)$$

Самой распространенной моделью аддитивного шума является гауссовский случайный процесс. Эта модель шума относится к широкому классу физических каналов, является преобладающей моделью при анализе и синтезе систем связи.

Далее перечислим случаи, в которых гауссовский процесс является адекватной моделью реальных шумов.

1) Если шум обусловлен в основном электронными компонентами и усилителями в приемнике, то его можно описать как тепловой шум. Тепловой шум – гауссовский случайный процесс с нулевым средним и энергетическим спектром:

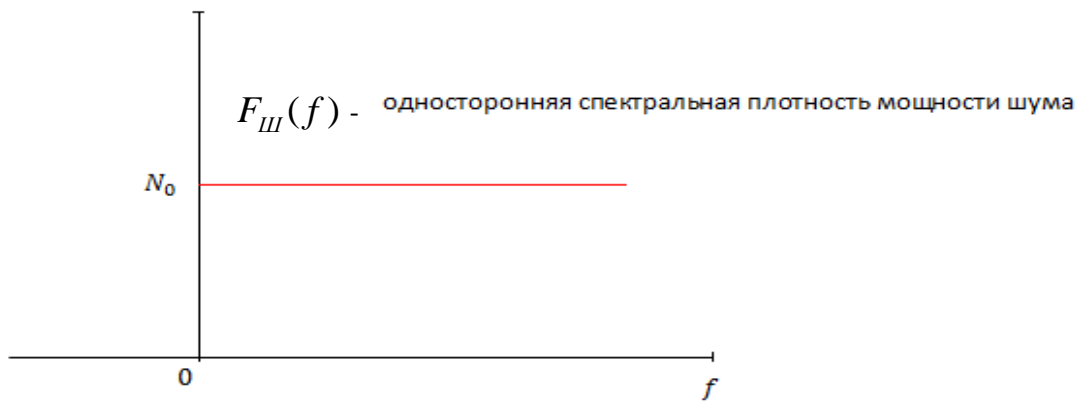
$$G_{\text{ш}}(f) = \frac{hf}{2 \left[e^{\frac{hf}{kT}} - 1 \right]}$$

где $h \cong 6.6 \cdot 10^{-34}$ Дж·с – постоянная Планка, $k = 1.38 \cdot 10^{-23}$ Дж/К – постоянная Больцмана, T – температура источника шума, f – частота. В диапазоне звуковых и радиочастот $hf \ll kT \Rightarrow$

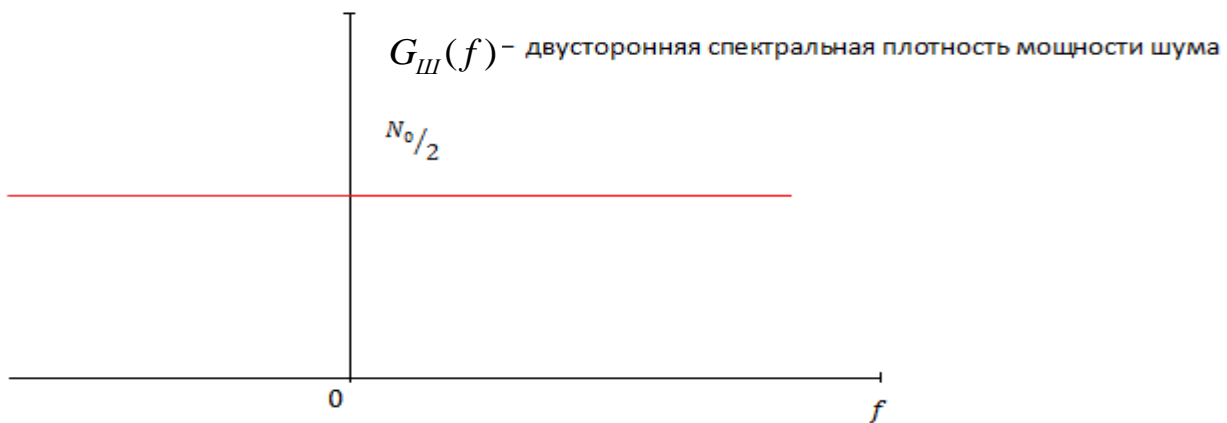
$$G_{\text{ш}}(f) = \frac{kT}{2} = \frac{N_0}{2} \quad (1.2)$$

Величину $N_0 = kT$ называют односторонней спектральной плотностью мощности (СПМ) белого шума. Ниже на рисунке 1.2 приведены графики

СПМ: односторонней (физического спектра) и двусторонней (математического спектра).



а)



б)

Рисунок 1.2. Спектральная плотность мощности белого шума.

При ширине полосы пропускания приемника F мощность шума равна

$$P_{III} = N_0 F. \quad (1.3)$$

Усложненной моделью I является модель с затуханием сигнала $\rightarrow y(t) = \alpha S(t) + \eta(t)$, где α – затухание сигнала в канале.

2) Сумма большого числа любых помех от различных источников имеет гауссовский закон распределения.

3) При прохождении помехи через узкополосную систему происходит ее нормализация.

К аддитивным мешающим воздействиям также относятся импульсные помехи и помехи, сосредоточенные по спектру. Импульсные помехи (сосредоточенные по времени) – атмосферные и промышленные помехи. Они

представляют собой случайный процесс, состоящий из отдельных, редких, случайно распределенных во времени и по амплитуде импульсов. Статистические свойства таких помех описываются распределением вероятностей амплитуд импульсов и распределением временных промежутков между этими импульсами.

Сосредоточенные по спектру помехи – сигналы посторонних радиостанций, излучения генераторов высокой частоты. В общем случае это модулированное колебание, т.е. квазигармоническое колебание с изменяющимися параметрами. Ширина спектра такой помехи как правило не превышает полосы пропускания приемника.

II. Канал с аддитивным шумом и мультипликативной помехой

$$y(t) = \mu(t) \cdot S(t) + \eta(t), \quad (1.4)$$

где $\mu(t)$ – мультипликативная помеха.

III. Линейный фильтровой канал

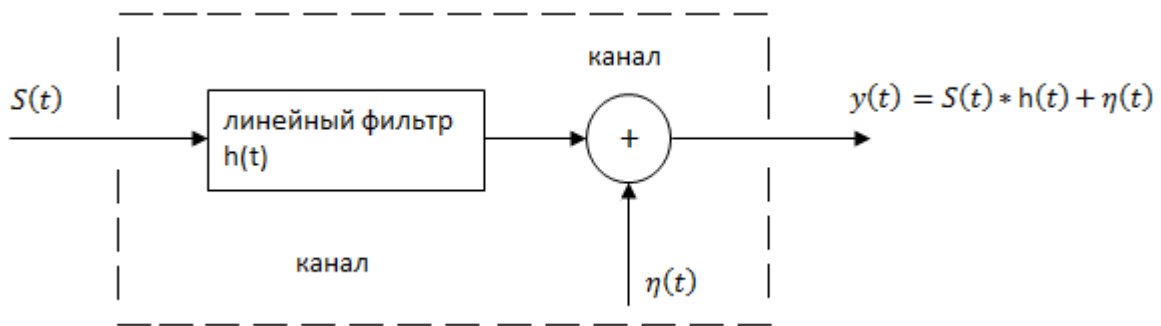


Рисунок 1.3. Структурная схема линейного фильтрового канала с постоянными параметрами.

* – оператор свертки, т.е.

$$y(t) = \int_{-\infty}^{\infty} h(\tau) S(t - \tau) d\tau + \eta(t). \quad (1.5)$$

$h(t)$ – импульсная характеристика фильтра, которая связана с передаточной функцией $k(j\omega)$ преобразованием Фурье:

$$h(t) = \frac{1}{2\pi} \int_{-\infty}^{\infty} k(j\omega) e^{j\omega t} d\omega - \text{обратное преобразование Фурье.}$$

$$k(j\omega) = \int_{-\infty}^{\infty} h(t) e^{-j\omega t} dt - \text{прямое преобразование Фурье.}$$

Такие каналы (математические модели) используются в физических каналах (например, телефонные каналы), где фильтры ставятся для того, чтобы гарантировать, что передаваемые сигналы не превышают точно

установленные ограничения на ширину полосы и, т.о. не интерферируют друг с другом.

IV. Линейный фильтровой канал с переменными параметрами



Рисунок 1.4. Структурная схема линейного фильтрового канала с переменными параметрами.

$$y(t) = S(t) * h(\tau, t) + \eta(t) = \int_{-\infty}^{\infty} h(\tau, t) S(t - \tau) d\tau + \eta(t) \quad (1.6)$$

Такой моделью могут быть описаны подвижные акустические и ионосферные радиоканалы, которые возникают в условиях меняющегося во времени многолучевого распространения передаваемого сигнала.

Хорошей моделью для многолучевого распространения волн через физические каналы типа ионосферы ($f < 30$ МГц) и каналы подвижной сотовой связи является:

$$h(\tau, t) = \sum_{k=1}^L a_k(t) \delta(\tau - \tau_k), \quad (1.7)$$

где $a_k(t)$ – меняющиеся во времени коэффициенты затухания для L путей распространения, τ_k – соответствующие им времена задержки \Rightarrow после подстановки (1.7) в (1.6) получим выражение

$$y(t) = \sum_{k=1}^L a_k(t) S(t - \tau_k) + \eta(t) \quad (1.8)$$

1.2. *Характеристики каналов связи.*

Канал связи может быть:

1. Непрерывным,
2. Дискретно – непрерывным,
3. Непрерывно – дискретным,
4. Дискретным.

Обобщенной характеристикой непрерывного канала является его емкость (объем):

$$V_k = T_k \cdot F_k \cdot H_k, \quad (1.9)$$

где T_k – время, в течение которого по каналу ведется передача, F_k – полоса пропускания канала, H_k – динамический диапазон,

$$H_k = 10 \lg \left(\frac{P_{\text{доп.сигн}}}{P_{\text{помехи}}} \right), \quad (1.10)$$

$P_{\text{доп.сигн}}$ – допустимая мощность передаваемого сигнала, $P_{\text{помехи}} = \sigma_\eta^2$ – мощность помехи.

Необходимое условие неискаженной передачи сигнала с объемом V_c по каналу:

$$V_c \leq V_k, \quad (1.11)$$

где V_c – объем сигнала,

$$V_c = T_c \cdot F_c \cdot H_c, \quad (1.12)$$

T_c – длительность сигнала, F_c – ширина спектра сигнала, H_c – динамический диапазон сигнала.

$$H_c = 10 \lg \left(\frac{P_{\text{мгн.мах сигн}}}{P_0} \right), \quad (1.13)$$

$P_{\text{мгн.мах сигн}}$ – наибольшая мгновенная мощность сигнала, P_0 – наименьшая мощность, которую необходимо отличить от “0” при заданном качестве передачи.

2. Оптимальный прием сигналов.

2.1. Задача обнаружения сигналов.

2.1.1. Постановка задачи обнаружения.

Пусть на вход устройства обнаружения поступает аддитивная смесь: сигнал + шум:

$$y_i = S_i + \eta_i \quad (2.1)$$

i – дискретное время $y_i = y(t_i)$, $S_i = S(t_i)$, $\eta_i = \eta(t_i)$, $t_i = \Delta t i$, Δt – шаг дискретизации, η_i – аддитивный шум, S_i – полезный сигнал, причем, $E\eta_i = 0$, $E\eta_i^2 = \sigma_\eta^2$, E – оператор математического ожидания.

Задача обнаружения – это задача проверки двух статистических гипотез:

H_1 : на входе приёмника присутствует сигнал в смеси с шумом $y_i = S_i + \eta_i$,

H_0 : на входе приёмника есть только шум $y_i = \eta_i$;

$i = \overline{1; n}$ – n -объём выборки. y_1, y_2, \dots, y_n . Обозначим $\vec{y}_n = (y_1, y_2, \dots, y_n)$.

Требуется синтезировать оптимальный (по какому-нибудь критерию) алгоритм обработки выборки \vec{y}_n с целью принять решение γ_1 - о верности гипотезы H_1 или решение γ_0 - о верности гипотезы H_0 .

Т. к. полезный сигнал наблюдается в шумах, то при принятии решения неизбежны ошибки. Возможны ошибки двух родов:

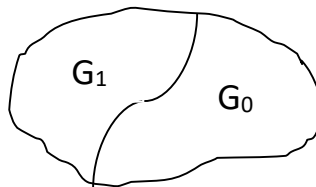
1. α - вероятность ложной тревоги. Принимается решение γ_1 , в то время как имеет место гипотеза H_0 .

2. β –вероятность пропуска сигнала. Принимается решение γ_0 , а на самом деле имеет место гипотеза H_1 .

Поставим задачу обнаружения в более абстрактном виде.

Пусть Y – n -мерное пространство, возможных значений вектора \vec{y}_n .

Разобьём его на 2 не пересекающиеся области: G_1, G_0 .



Будем принимать решение γ_0 , если $\vec{y}_n \in G_0$, а решение γ_1 , если $\vec{y}_n \in G_1 \Rightarrow$

$$\alpha = P\{\gamma_1 | H_0\} = P\{\vec{y}_n \in G_1 | H_0\};$$

$$\beta = P\{\gamma_0 | H_1\} = P\{\vec{y}_n \in G_0 | H_1\};$$

где \in - оператор принадлежности.

Далее запишем выражение для ошибок α и β через многомерные функции плотности вероятности (ФПВ):

$$\begin{aligned} \alpha &= \int_{G_1} \dots \int \omega(\vec{y}_n | H_0) d\vec{y}_n \\ \beta &= \int_{G_0} \dots \int \omega(\vec{y}_n | H_1) d\vec{y}_n \end{aligned} \quad (2.2)$$

где $\omega(\vec{y}_n | H_j)$ – многомерная ФПВ выборки \vec{y}_n при условии H_j $j = \overline{0,1}$.

Обычно её называют функцией правдоподобия.

Пусть $q = P(H_0)$ – априорная вероятность действия гипотезы $H_0 \Rightarrow P = P(H_1) = 1 - q$ - априорная вероятность действия гипотезы H_1 . Запишем совместные вероятности действия гипотезы H_k и принятия решения γ_j , $k, j = \overline{0,1}$:

$$P(\gamma_0 H_0) = P(H_0) \cdot P(\gamma_0 | H_0) = q(1 - \alpha)$$

$$P(\gamma_0 H_1) = P(H_1) \cdot P(\gamma_0 | H_1) = p\beta$$

$$P(\gamma_1 H_0) = P(H_0) \cdot P(\gamma_1 | H_0) = q\alpha$$

$$P(\gamma_1 H_1) = P(H_1) \cdot P(\gamma_1 | H_1) = p(1 - \beta)$$

Далее будем рассматривать алгоритмы обнаружения, использующие различные критерии качества (оптимальности).

2.1.2. Байесовский обнаружитель.

Определим матрицу потерь, задающую плату за решение γ_j , в то время, как имеет место гипотеза H_k , $j=\overline{0,1}$, $k=\overline{0,1}$: $\Pi = \begin{pmatrix} \Pi_{00} & \Pi_{01} \\ \Pi_{10} & \Pi_{11} \end{pmatrix}$, причём $\Pi_{01} > \Pi_{00}$,

$\Pi_{10} > \Pi_{11}$. Номера строк в платёжной матрице соответствуют номерам гипотез, а номера столбцов – номерам принимаемых решений.

С помощью матрицы потерь определим понятие среднего риска R :

$$R = \sum_{k=0}^1 \sum_{j=0}^1 \Pi_{kj} P(\gamma_j, H_k) \quad (2.3)$$

В качестве критерия оптимальности возьмём критерий минимума среднего риска:

$$R = R_{min} \quad (2.4)$$

Перепишем (2.3) в развернутом виде с учетом приведенных в лекции №1 формул для $P(\gamma_j H_k)$:

$$R = \Pi_{00}q(1 - \alpha) + \Pi_{11}p(1 - \beta) + \Pi_{01}q\alpha + \Pi_{10}p\beta$$

Учитывая, что $\alpha=1-(1-\alpha)$, получим

$$\begin{aligned} R &= \Pi_{00}q(1 - \alpha) + \Pi_{11}p - \Pi_{11}p\beta + \Pi_{01}q - \Pi_{01}q(1 - \alpha) + \Pi_{10}p\beta \\ &= q(1 - \alpha)(\Pi_{00} - \Pi_{01}) - p\beta(\Pi_{11} - \Pi_{10}) + \Pi_{01}q + \Pi_{11}p \end{aligned}$$

Вместо β подставим (2.2), а $(1-\alpha)=\int \dots \int_{G_0} \omega(\vec{y}_n|H_0) d\vec{y}_n$ Тогда получим

$$R = \Pi_{11}p + \Pi_{01}q + \int \dots \int_{G_0} [q(\Pi_{00} - \Pi_{01})w(\vec{y}_n / H_0) - p(\Pi_{11} - \Pi_{10})w(\vec{y}_n / H_1)] d\vec{y}_n .$$

$\frac{dR}{d\vec{y}_n} = 0 \Rightarrow q(\Pi_{00} - \Pi_{01})w(\vec{y}_n / H_0) - (\Pi_{11} - \Pi_{10})w(\vec{y}_n / H_1) = 0$. Откуда получим

$$\frac{w(\vec{y}_n|H_1)}{w(\vec{y}_n|H_0)} = \frac{q(\Pi_{00}-\Pi_{01})}{p(\Pi_{11}-\Pi_{10})} = C \quad (2.5)$$

Левая часть формулы (2.5) – отношение правдоподобия, правая часть (2.5) – порог C .

$$\Lambda(\vec{y}_n) = \frac{\omega(\vec{y}_n|H_1)}{\omega(\vec{y}_n|H_0)}, C = \frac{q(\Pi_{00}-\Pi_{01})}{p(\Pi_{11}-\Pi_{10})}. \quad (2.6)$$

Алгоритм принятия решения состоит в вычислении значения отношения правдоподобия и сравнении его с порогом:

$$\text{Если } \Lambda(\vec{y}_n) \geq C \Rightarrow \text{принимается решение } \gamma_1 \quad (2.7)$$

$$\text{Если } \Lambda(\vec{y}_n) < C \Rightarrow \text{принимается решение } \gamma_0$$

Вычисление порога C по формуле (2.6) встречает затруднения, т.к. сложно задать платежную матрицу. Поэтому используют следующие допущения:

а) платы за принятие верных решений полагают равными 0 \Rightarrow

$$C = \frac{q(\Pi_{01})}{p(\Pi_{10})}$$

$$\text{б) } \Pi_{01} = \Pi_{10} \Rightarrow$$

$$C = \frac{q}{p}, \quad (2.8)$$

критерий минимума среднего риска (2.4) становится критерием идеального наблюдателя (или критерием Зигерта -Котельникова); средний риск сводится к средней вероятности ошибки

$$P_{\text{ош}} = P(H_0)P(\gamma_1|H_0) + P(H_1)P(\gamma_0|H_1) = q\alpha + p, \quad (2.9)$$

т.е. $R = R_{\min}$ превращается в

$$P_{\text{ош}} = P_{\text{ош} \min} \quad (2.10)$$

в) если априорные вероятности q и p равны, тогда систему называют системой с симметричным каналом и

$$C=1 \quad (2.11)$$

Замечание: Полученный алгоритм (2.7) является оптимальным алгоритмом обработки выборки для всех критериев. Различие состоит только в способе нахождения порога C . Как было показано выше оптимальный способ обработки входного воздействия это подстановка \vec{y}_n в $\Lambda(\vec{y}_n)$ и сравнения его с порогом C . Однако, прямое вычисление отношения правдоподобия, как правило, очень неудобно. Для упрощения вычислений применяют теорему Лемана, которая гласит:

если $\Lambda(\vec{y}_n) = \Lambda(\lambda(\vec{y}_n))$, где $\Lambda(\lambda)$ - монотонная функция от λ , то решение можно принимать по $\lambda(\vec{y}_n)$ т.е.

$$\text{если } \lambda(\vec{y}_n) \geq C', \text{ то принимается решение } \gamma_1, \quad (2.12)$$

если $\lambda(\vec{y}_n) < C'$, то принимается решение γ_0 ,

где C' - пересчитанный порог.

При этом $\Lambda(\vec{y}_n)$ называют достаточной статистикой, а $\lambda(\vec{y}_n)$ минимально достаточной статистикой.

2.1.3. Обнаружение детерминированных сигналов на фоне аддитивного ГБШ.

Пусть $\eta_i \sim N(0, \sigma_\eta^2)$ - ГБШ. Мгновенные значения такой помехи распределены по гауссовскому закону $w_\eta(x) = \frac{1}{\sqrt{2\pi}\sigma_\eta} e^{\frac{-x^2}{2\sigma_\eta^2}}$, с нулевым математическим ожиданием и дисперсией σ_η^2 . Отсчёты такой помехи независимы, спектральная плотность мощности равномерна. Тогда функция правдоподобия факторизуется:

$$w(\vec{y}_n | H_k) = \prod_{i=1}^n w(y_i | H_k), \quad k = \overline{0; 1}$$

Мгновенные значения входного воздействия при гипотезе H_0 распределены

по закону: $w(y_i | H_0) = \frac{1}{\sqrt{2\pi}\sigma_\eta} e^{\frac{-y_i^2}{2\sigma_\eta^2}}$, при гипотезе H_1 :

$$w(y_i | H_1) = \frac{1}{\sqrt{2\pi}\sigma_\eta} e^{\frac{-(y_i - s_i)^2}{2\sigma_\eta^2}} \Rightarrow$$

$$w(\vec{y}_n | H_0) = \left(\frac{1}{\sqrt{2\pi}\sigma_\eta}\right)^n \prod_{i=1}^n e^{\frac{-y_i^2}{2\sigma_\eta^2}} = \left(\frac{1}{\sqrt{2\pi}\sigma_\eta}\right)^n e^{\frac{-\sum_{i=1}^n y_i^2}{2\sigma_\eta^2}}$$

$$w(\vec{y}_n | H_1) = \left(\frac{1}{\sqrt{2\pi}\sigma_\eta}\right)^n \prod_{i=1}^n e^{\frac{-(y_i - s_i)^2}{2\sigma_\eta^2}} = \left(\frac{1}{\sqrt{2\pi}\sigma_\eta}\right)^n e^{\frac{-\sum_{i=1}^n (y_i - s_i)^2}{2\sigma_\eta^2}} \Rightarrow$$

$$\begin{aligned} \Lambda(\vec{y}_n) &= \frac{\left(\frac{1}{\sqrt{2\pi}\sigma_\eta}\right)^n e^{\frac{-\sum_{i=1}^n (y_i - s_i)^2}{2\sigma_\eta^2}}}{\left(\frac{1}{\sqrt{2\pi}\sigma_\eta}\right)^n e^{\frac{-\sum_{i=1}^n y_i^2}{2\sigma_\eta^2}}} = \frac{e^{\frac{-\sum_{i=1}^n (y_i - s_i)^2}{2\sigma_\eta^2}}}{e^{\frac{-\sum_{i=1}^n y_i^2}{2\sigma_\eta^2}}} = e^{\frac{\sum_{i=1}^n (y_i^2 - y_i^2 + 2y_i s_i - s_i^2)}{2\sigma_\eta^2}} = \\ &= e^{\frac{\sum_{i=1}^n (y_i s_i - \frac{s_i^2}{2})}{\sigma_\eta^2}} \Rightarrow \ln \Lambda(\vec{y}_n) = \frac{\sum_{i=1}^n (y_i s_i - \frac{s_i^2}{2})}{\sigma_\eta^2} = \ln C \Rightarrow \end{aligned}$$

$$\frac{1}{\sigma_{\eta}^2} \sum_{i=1}^n y_i S_i = \ln C + \frac{1}{\sigma_{\eta}^2} \sum_{i=1}^n \frac{S_i^2}{2} \text{ или } \sum_{i=1}^n y_i S_i = \sigma_{\eta}^2 \ln C + \sum_{i=1}^n \frac{S_i^2}{2}.$$

Тогда получим алгоритм обнаружения:

$$\text{если } \sum_{i=1}^n y_i S_i \geq C' \Rightarrow \gamma_1 \quad (2.13)$$

$$\text{если } \sum_{i=1}^n y_i S_i < C' \Rightarrow \gamma_0$$

$E = \sum_{i=1}^n S_i^2$ - энергия сигнала \Rightarrow

$$C' = \sigma_{\eta}^2 \ln C + \frac{E}{2} \quad (2.14)$$

Формулы (2.13) и (2.14)- обработка дискретного детерминированного сигнала на фоне ГБШ.

Если обработке подвергается непрерывный сигнал $y(t)$, то сумма заменяется интегралом: $\lambda(y(t)) = \int_0^T y(t) S(t) dt$ - корреляционный интеграл, T - длительность сигнала C' находится по (2.14), где $E = \int_0^T S(t)^2 dt \Rightarrow$

$$\text{Если } \lambda(y(t)) \geq C' \Rightarrow \gamma_1, \quad (2.15)$$

$$\text{если } \lambda(y(t)) < C' \Rightarrow \gamma_0$$

Т. о. получили корреляционную обработку сигнала в непрерывном времени.

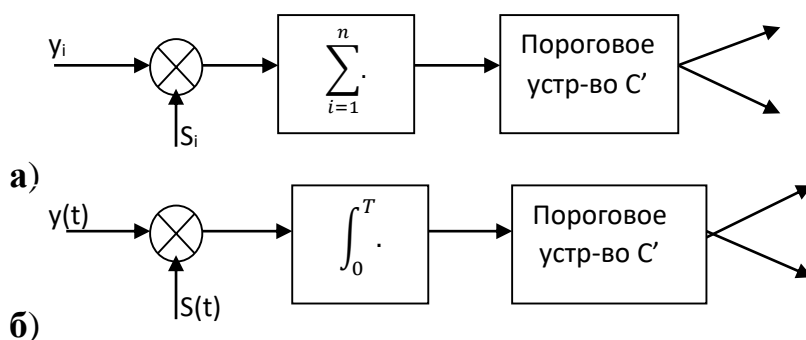


Рисунок 2.1. Корреляционная обработка детерминированного дискретного сигнала (а), непрерывного сигнала (б) на фоне ГБШ.

 - умножитель